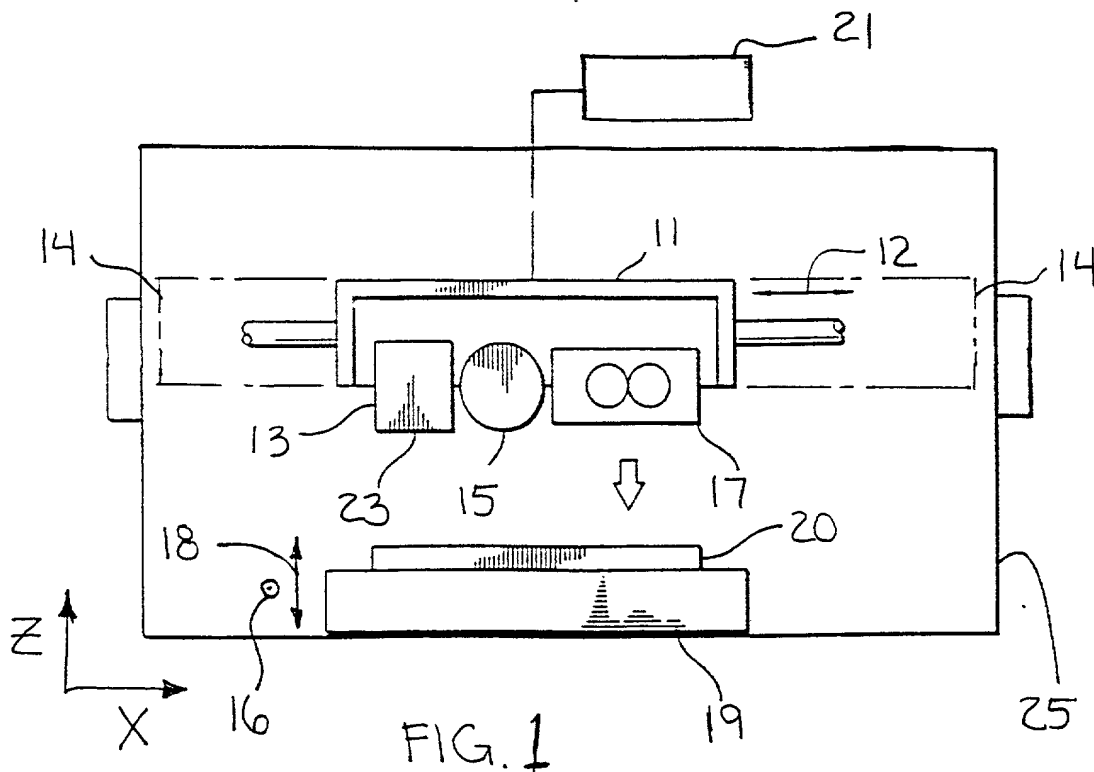
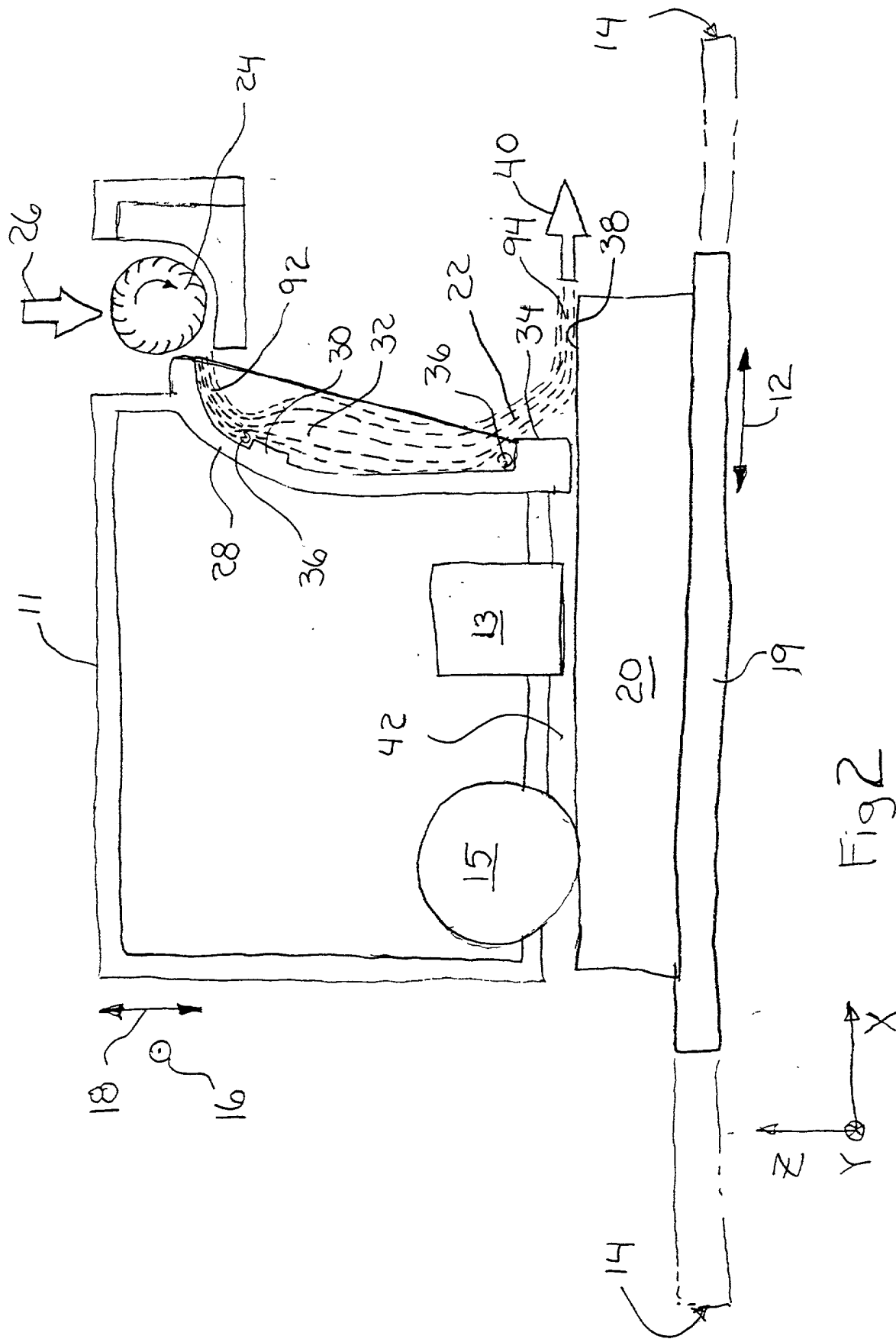


PRIOR ART





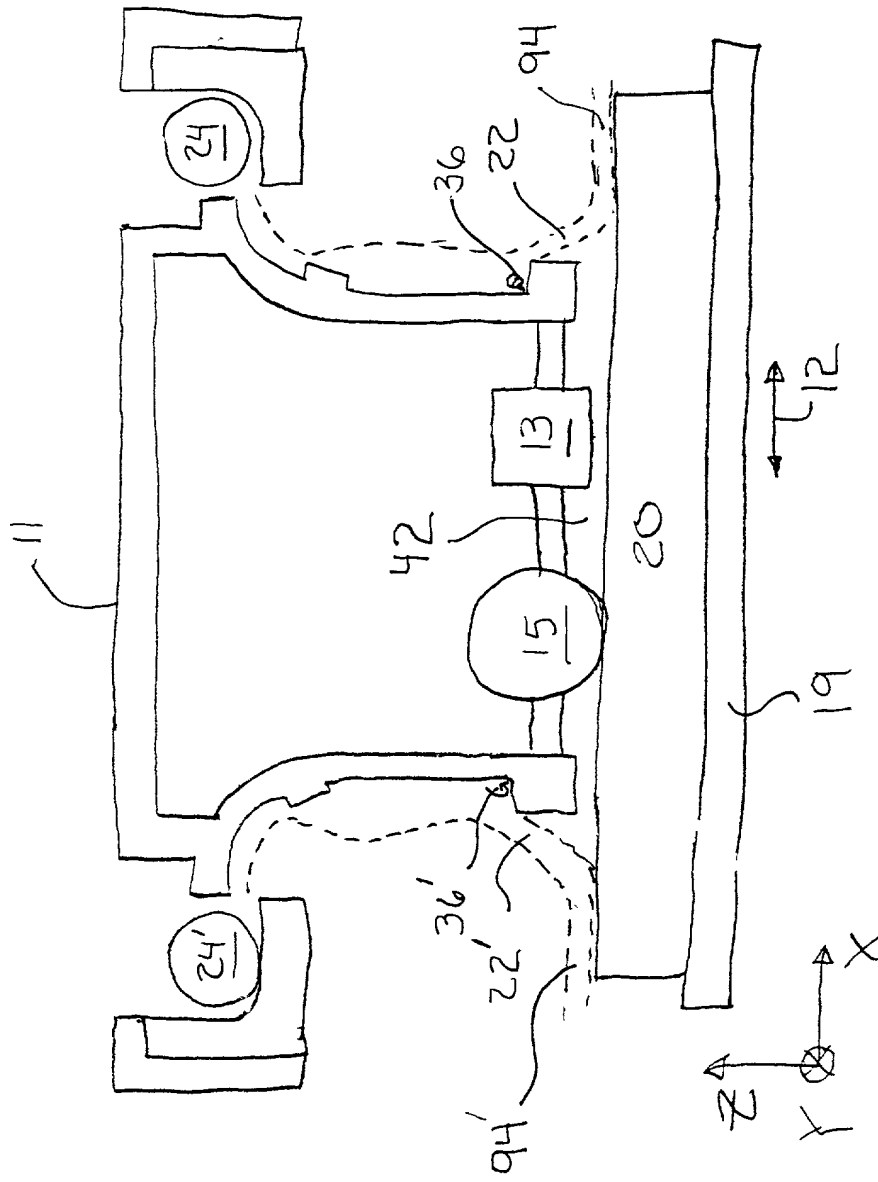


FIG. 3

Fig. 4

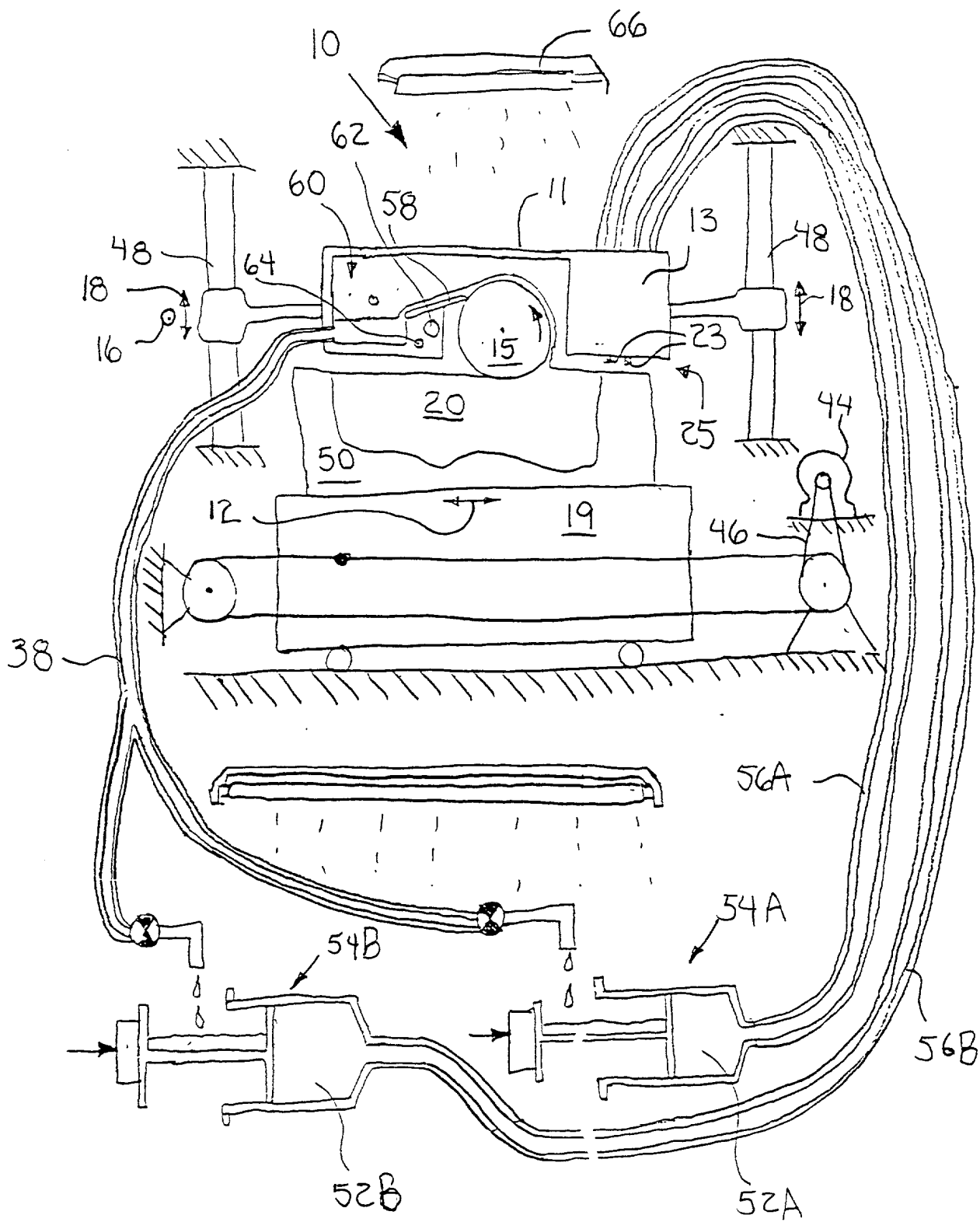
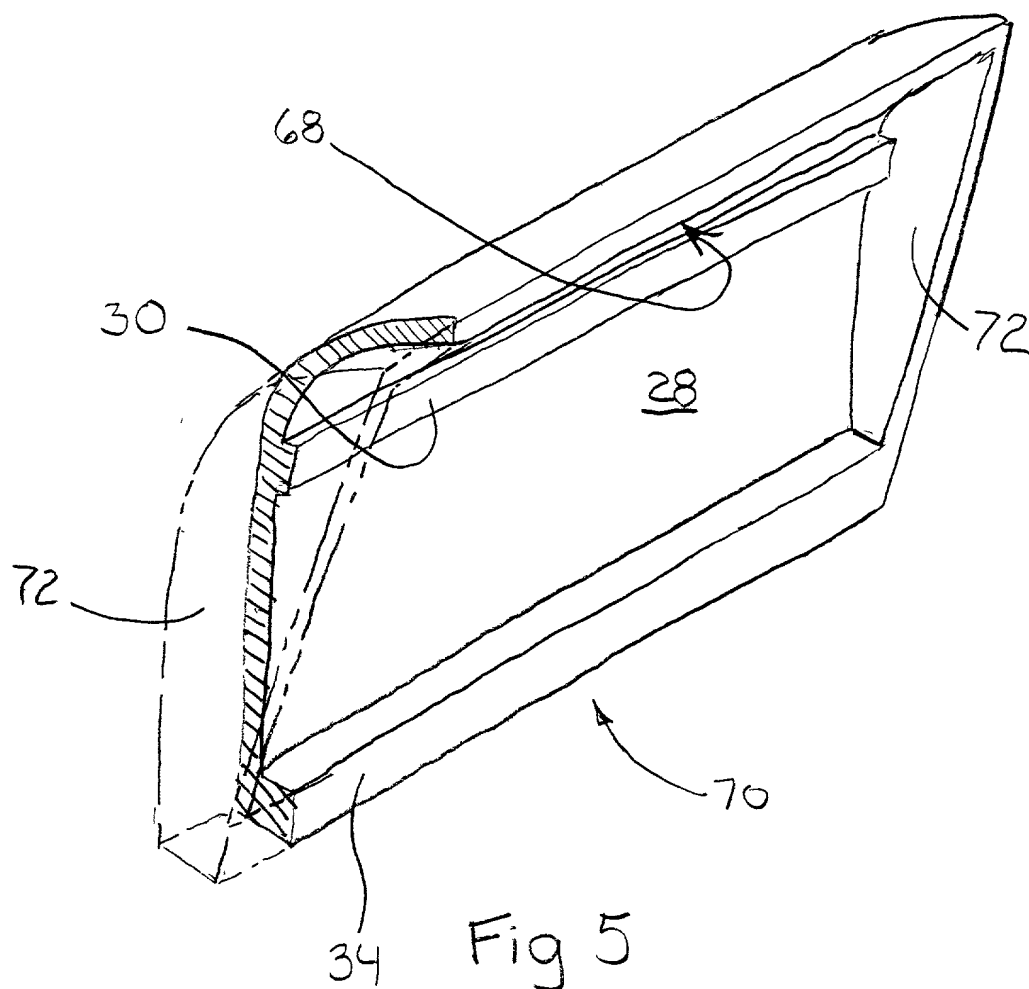


Fig. 4



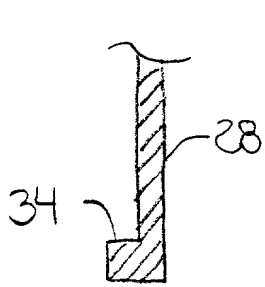


Fig. 6A

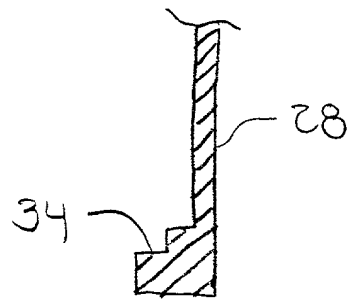


Fig. 6B

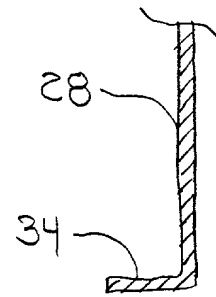


Fig. 6C

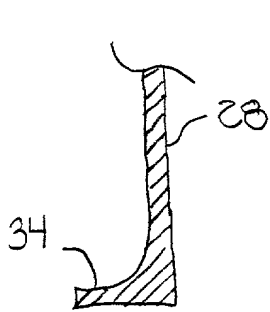


Fig. 6D

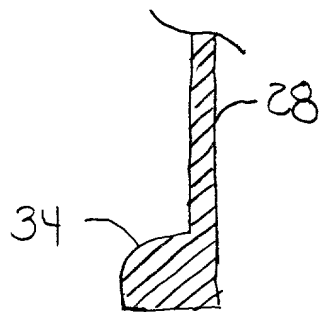


Fig. 6E

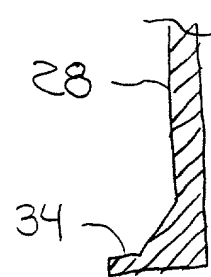


Fig. 6F

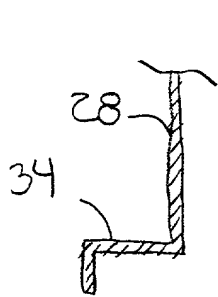


Fig. 6G

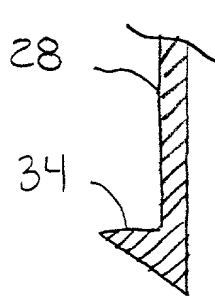


Fig 6H

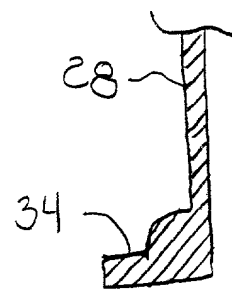
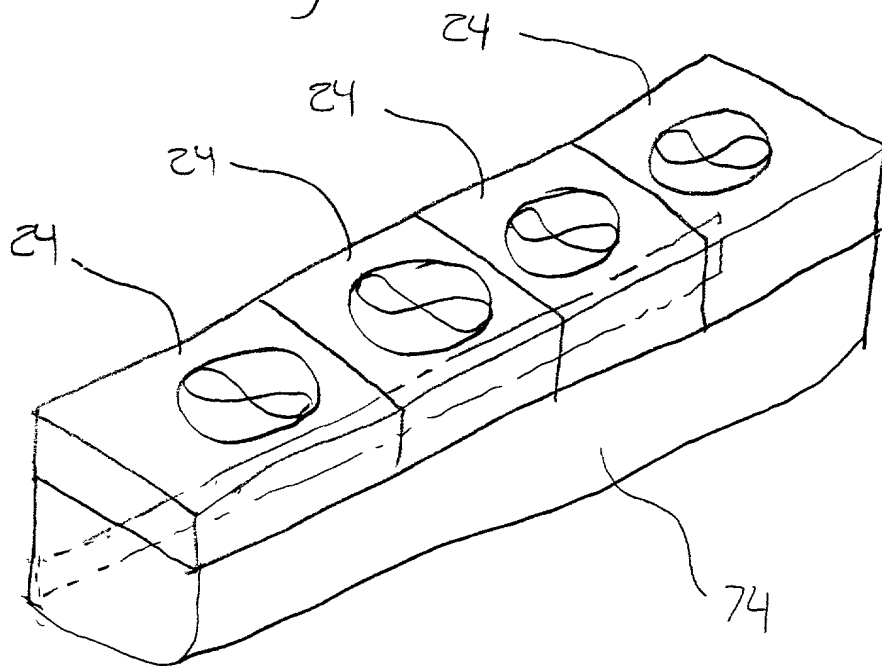
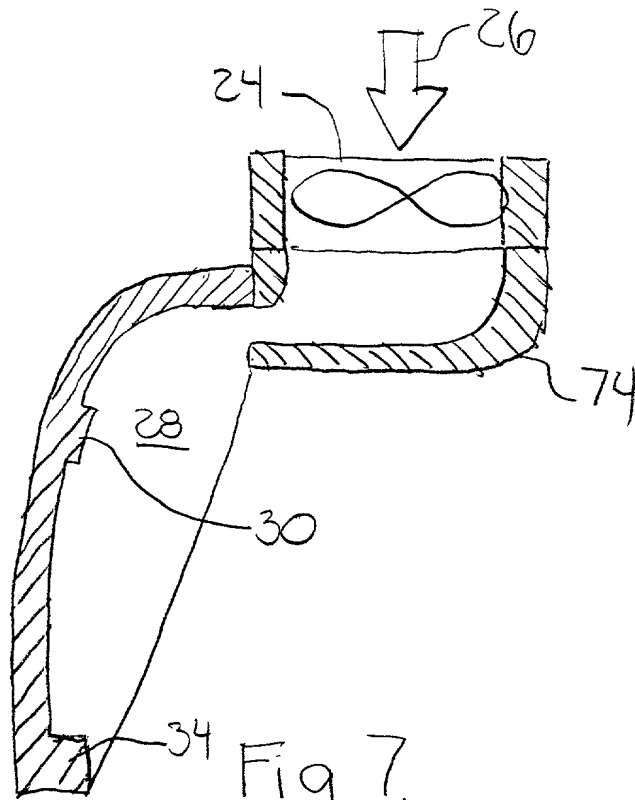


Fig. 6I



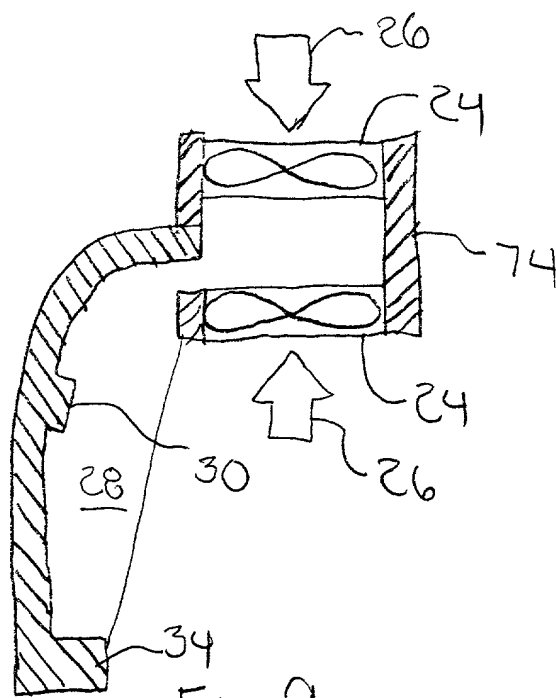


Fig. 9

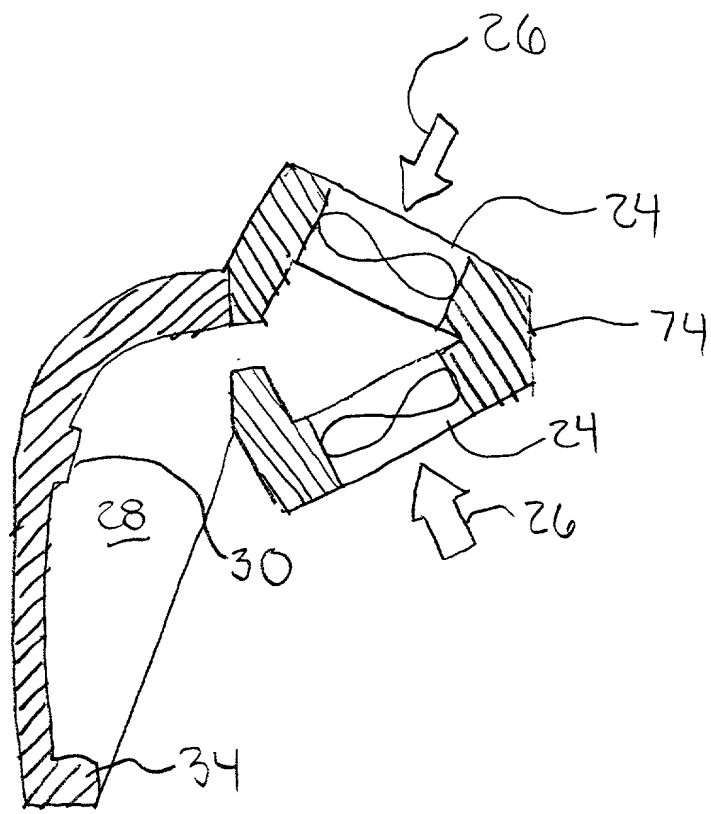


Fig. 10



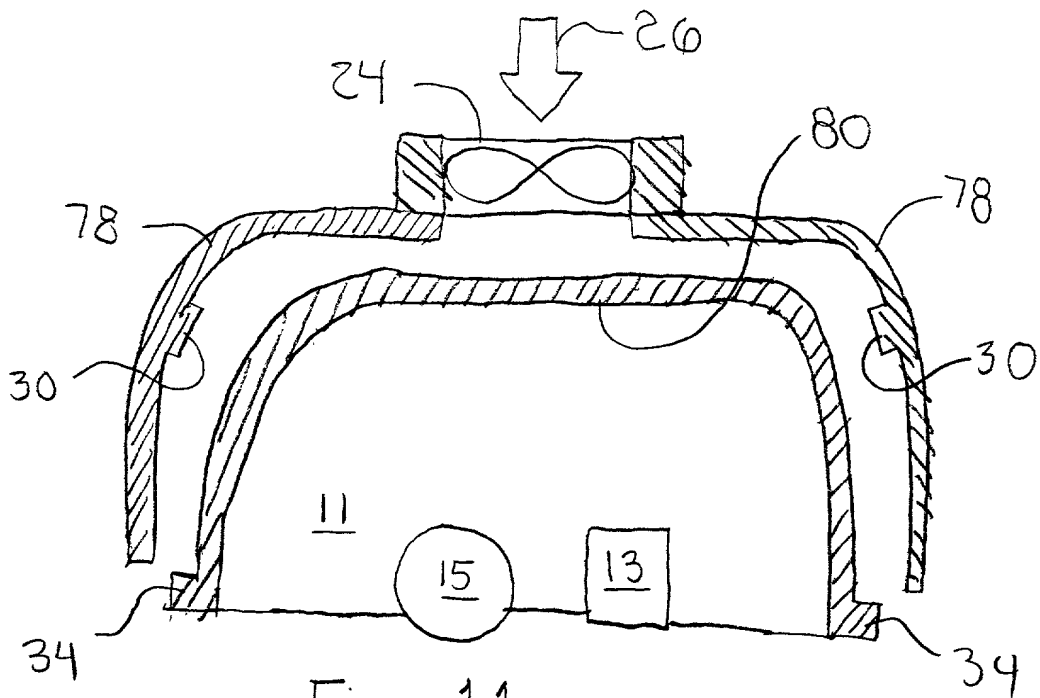


Fig. 11

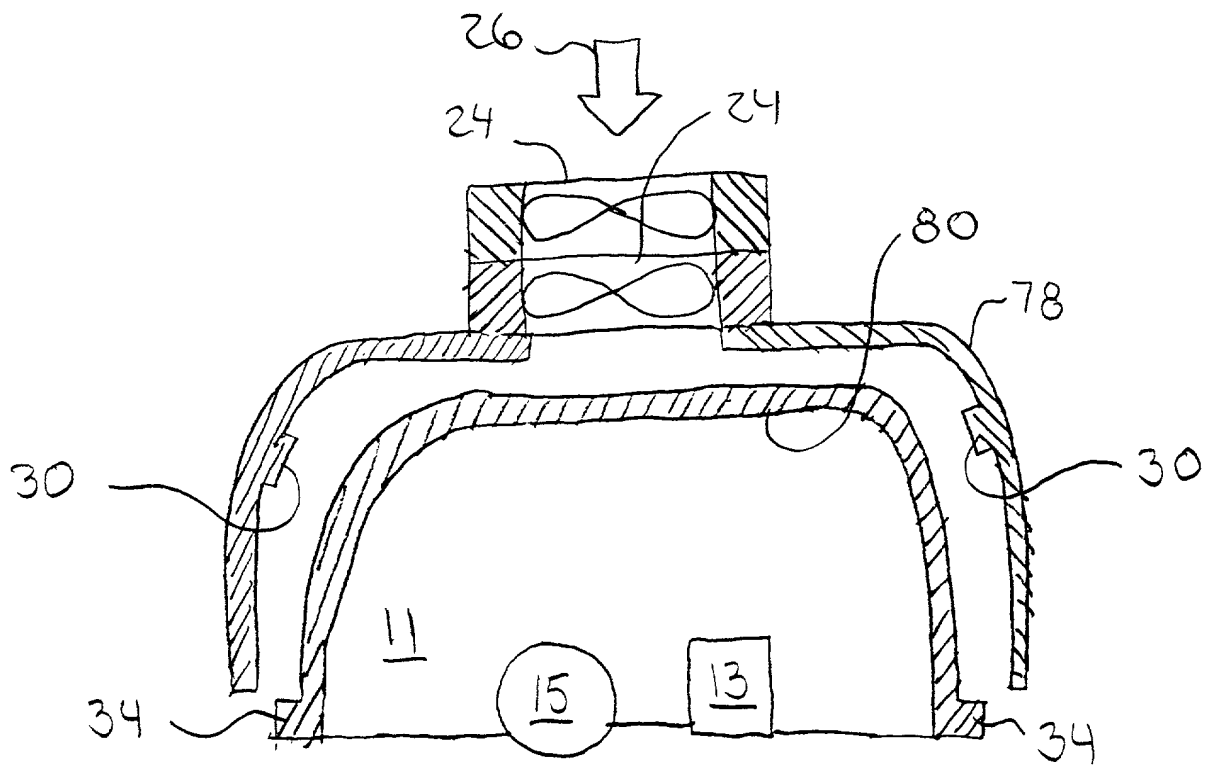


Fig. 12

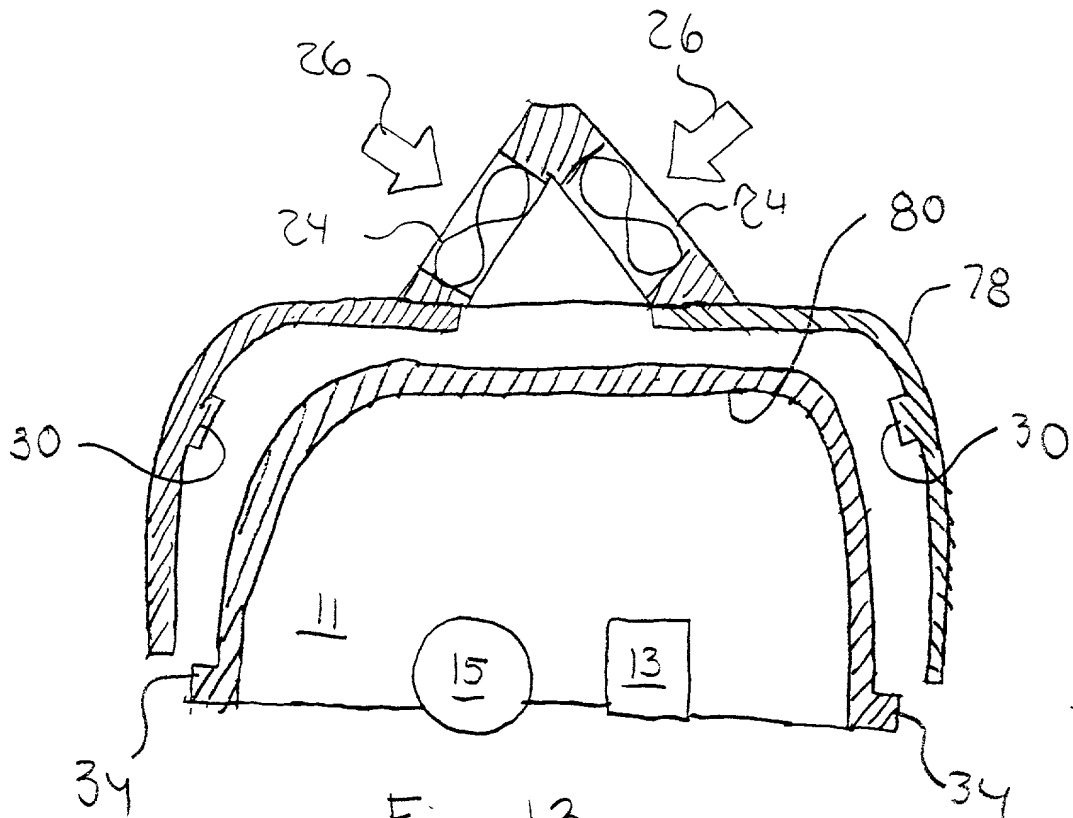


Fig. 13

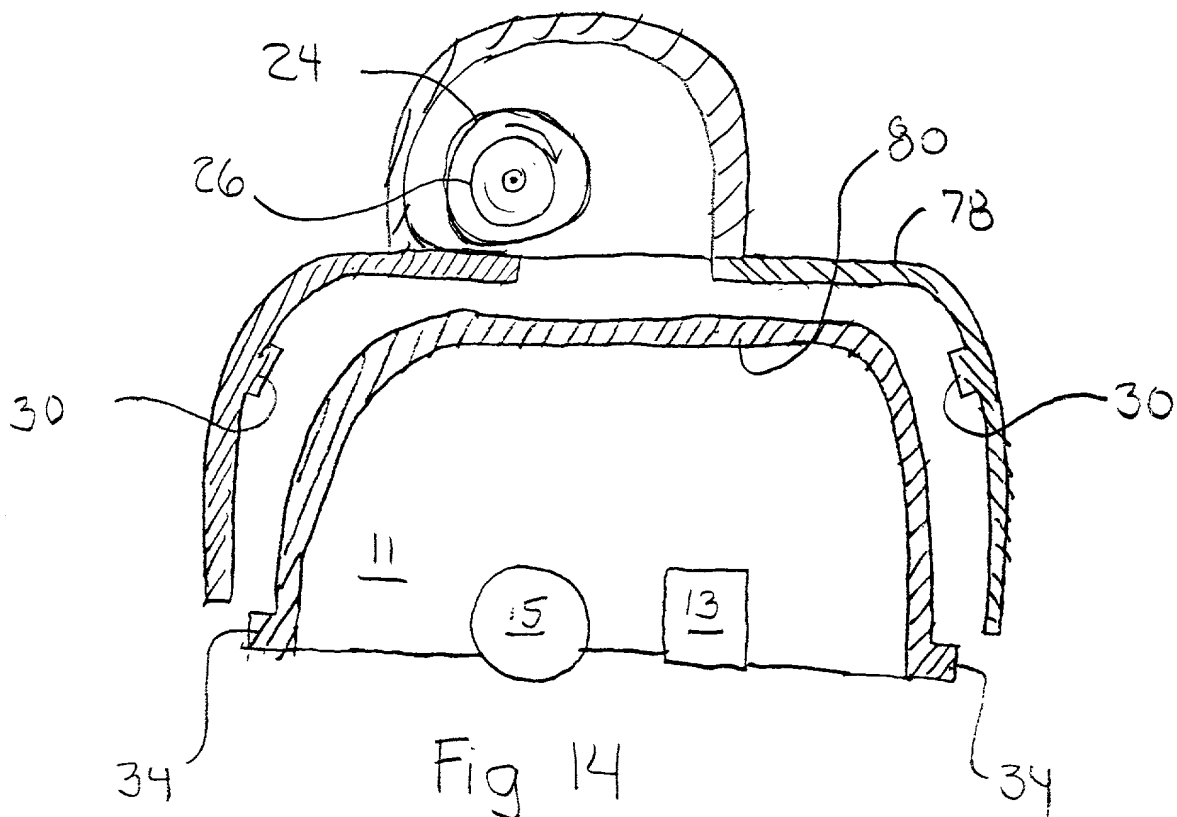


Fig 14

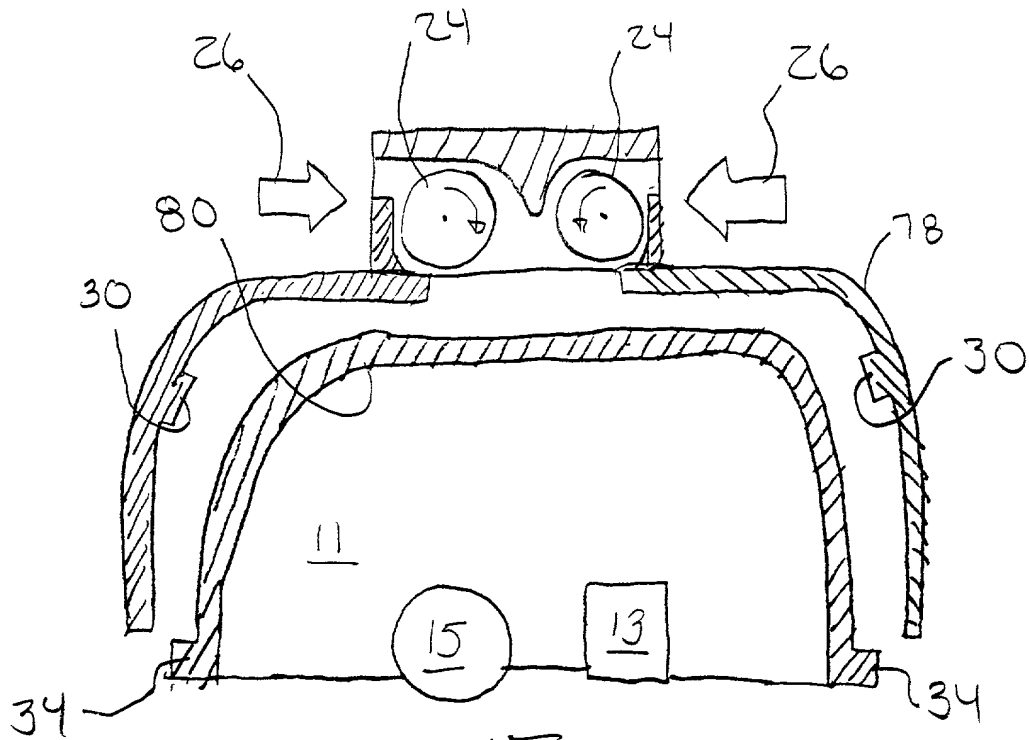


Fig. 15

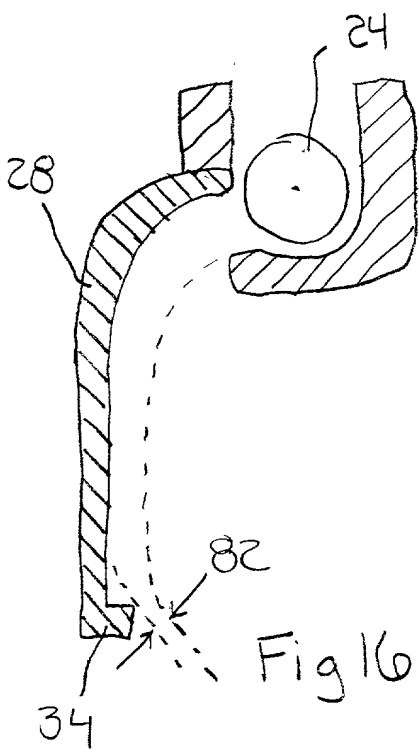


Fig 16A

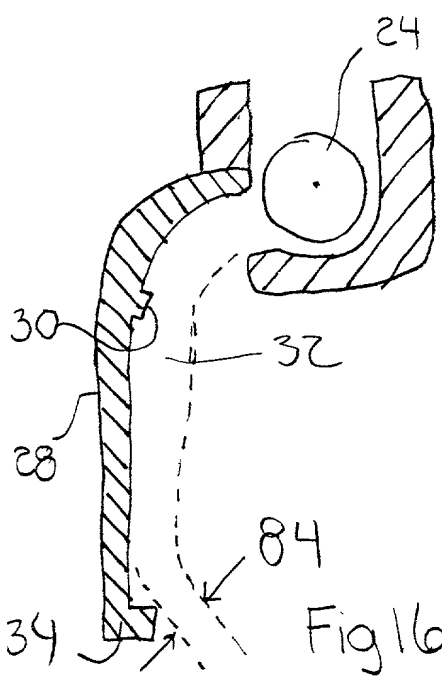


Fig 16B

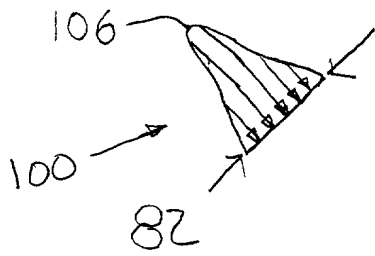


Fig 17A

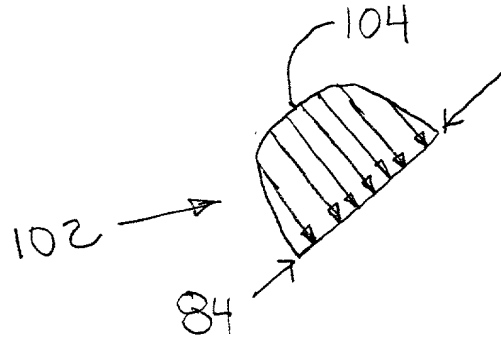


Fig. 17B

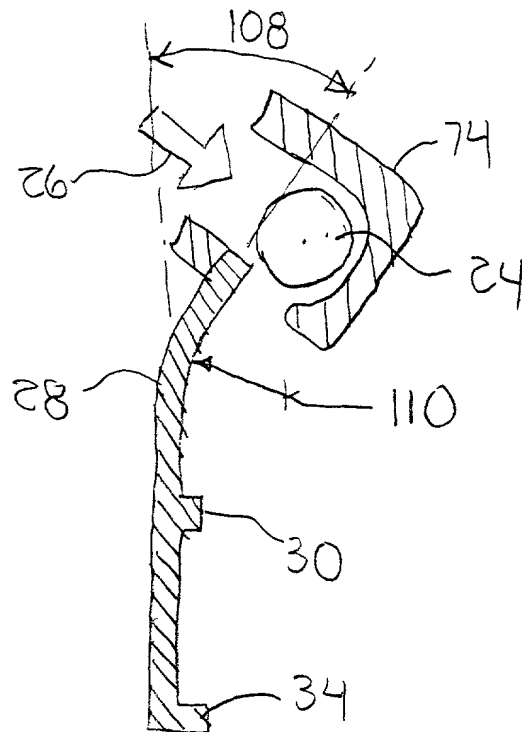


Fig 18

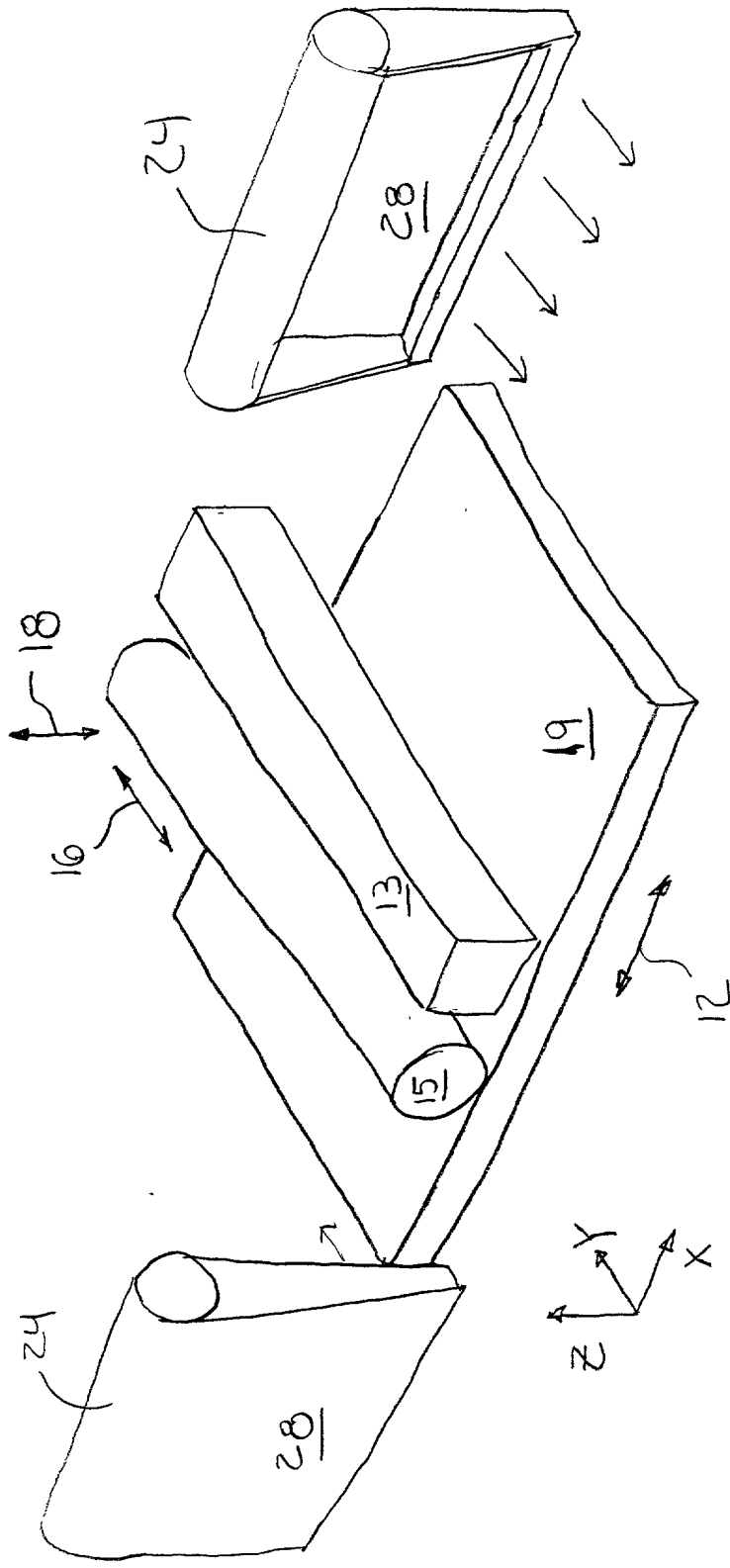


Fig. 19

10

FIG. 20

